

Starkniederschlagshöhen und -spenden gemäß KOSTRA-DWD-2020

Rasterfeld 135090

(Zeile 135, Spalte 90)

Regenspende und Bemessungsniederschlagswerte in Abhängigkeit von Wiederkehrzeit T und Dauerstufe D

| Dauerstufe D | | Wiederkehrzeit T | | | | | | | | | | | | | | | | | |
|--------------|-----|------------------|------------|------|------------|------|------------|------|------------|------|------------|-------|------------|-------|------------|-------|------------|-------|------------|
| | | 1 a | | 2 a | | 3 a | | 5 a | | 10 a | | 20 a | | 30 a | | 50 a | | 100 a | |
| min | Std | mm | l / (s ha) | mm | l / (s ha) | mm | l / (s ha) | mm | l / (s ha) | mm | l / (s ha) | mm | l / (s ha) | mm | l / (s ha) | mm | l / (s ha) | mm | l / (s ha) |
| 5 | | 5,7 | 190,0 | 6,9 | 230,0 | 7,7 | 256,7 | 8,7 | 290,0 | 10,2 | 340,0 | 11,7 | 390,0 | 12,7 | 423,3 | 14,0 | 466,7 | 15,8 | 526,7 |
| 10 | | 7,8 | 130,0 | 9,5 | 158,3 | 10,5 | 175,0 | 11,9 | 198,3 | 13,9 | 231,7 | 16,0 | 266,7 | 17,3 | 288,3 | 19,1 | 318,3 | 21,6 | 360,0 |
| 15 | | 9,1 | 101,1 | 11,0 | 122,2 | 12,3 | 136,7 | 13,9 | 154,4 | 16,2 | 180,0 | 18,6 | 206,7 | 20,2 | 224,4 | 22,2 | 246,7 | 25,2 | 280,0 |
| 20 | | 10,0 | 83,3 | 12,2 | 101,7 | 13,5 | 112,5 | 15,3 | 127,5 | 17,9 | 149,2 | 20,5 | 170,8 | 22,3 | 185,8 | 24,6 | 205,0 | 27,8 | 231,7 |
| 30 | | 11,4 | 63,3 | 13,9 | 77,2 | 15,4 | 85,6 | 17,5 | 97,2 | 20,4 | 113,3 | 23,4 | 130,0 | 25,4 | 141,1 | 28,0 | 155,6 | 31,7 | 176,1 |
| 45 | | 12,9 | 47,8 | 15,7 | 58,1 | 17,4 | 64,4 | 19,7 | 73,0 | 23,0 | 85,2 | 26,4 | 97,8 | 28,7 | 106,3 | 31,6 | 117,0 | 35,8 | 132,6 |
| 60 | 1 | 14,0 | 38,9 | 17,0 | 47,2 | 18,9 | 52,5 | 21,4 | 59,4 | 25,0 | 69,4 | 28,7 | 79,7 | 31,1 | 86,4 | 34,3 | 95,3 | 38,9 | 108,1 |
| 90 | 1,5 | 15,6 | 28,9 | 19,1 | 35,4 | 21,2 | 39,3 | 24,0 | 44,4 | 28,0 | 51,9 | 32,1 | 59,4 | 34,8 | 64,4 | 38,4 | 71,1 | 43,5 | 80,6 |
| 120 | 2 | 16,9 | 23,5 | 20,6 | 28,6 | 22,9 | 31,8 | 25,9 | 36,0 | 30,2 | 41,9 | 34,7 | 48,2 | 37,7 | 52,4 | 41,5 | 57,6 | 47,0 | 65,3 |
| 180 | 3 | 18,8 | 17,4 | 22,9 | 21,2 | 25,5 | 23,6 | 28,8 | 26,7 | 33,7 | 31,2 | 38,7 | 35,8 | 41,9 | 38,8 | 46,2 | 42,8 | 52,3 | 48,4 |
| 240 | 4 | 20,3 | 14,1 | 24,7 | 17,2 | 27,5 | 19,1 | 31,1 | 21,6 | 36,3 | 25,2 | 41,7 | 29,0 | 45,2 | 31,4 | 49,8 | 34,6 | 56,4 | 39,2 |
| 360 | 6 | 22,5 | 10,4 | 27,5 | 12,7 | 30,5 | 14,1 | 34,5 | 16,0 | 40,3 | 18,7 | 46,3 | 21,4 | 50,2 | 23,2 | 55,3 | 25,6 | 62,7 | 29,0 |
| 540 | 9 | 25,0 | 7,7 | 30,5 | 9,4 | 33,9 | 10,5 | 38,3 | 11,8 | 44,8 | 13,8 | 51,4 | 15,9 | 55,7 | 17,2 | 61,4 | 19,0 | 69,6 | 21,5 |
| 720 | 12 | 26,9 | 6,2 | 32,8 | 7,6 | 36,5 | 8,4 | 41,3 | 9,6 | 48,2 | 11,2 | 55,3 | 12,8 | 60,0 | 13,9 | 66,1 | 15,3 | 74,9 | 17,3 |
| 1080 | 18 | 29,8 | 4,6 | 36,4 | 5,6 | 40,4 | 6,2 | 45,8 | 7,1 | 53,4 | 8,2 | 61,3 | 9,5 | 66,5 | 10,3 | 73,3 | 11,3 | 83,0 | 12,8 |
| 1440 | 24 | 32,1 | 3,7 | 39,2 | 4,5 | 43,5 | 5,0 | 49,2 | 5,7 | 57,5 | 6,7 | 66,0 | 7,6 | 71,6 | 8,3 | 78,9 | 9,1 | 89,3 | 10,3 |
| 2880 | 48 | 38,3 | 2,2 | 46,7 | 2,7 | 51,9 | 3,0 | 58,7 | 3,4 | 68,6 | 4,0 | 78,7 | 4,6 | 85,4 | 4,9 | 94,1 | 5,4 | 106,5 | 6,2 |
| 4320 | 72 | 42,4 | 1,6 | 51,7 | 2,0 | 57,5 | 2,2 | 65,1 | 2,5 | 76,0 | 2,9 | 87,2 | 3,4 | 94,6 | 3,6 | 104,2 | 4,0 | 118,1 | 4,6 |
| 5760 | 96 | 45,6 | 1,3 | 55,7 | 1,6 | 61,9 | 1,8 | 70,0 | 2,0 | 81,7 | 2,4 | 93,8 | 2,7 | 101,7 | 2,9 | 112,1 | 3,2 | 127,0 | 3,7 |
| 7200 | 120 | 48,3 | 1,1 | 58,9 | 1,4 | 65,5 | 1,5 | 74,1 | 1,7 | 86,5 | 2,0 | 99,3 | 2,3 | 107,7 | 2,5 | 118,6 | 2,7 | 134,4 | 3,1 |
| 8640 | 144 | 50,6 | 1,0 | 61,7 | 1,2 | 68,5 | 1,3 | 77,6 | 1,5 | 90,6 | 1,7 | 104,0 | 2,0 | 112,7 | 2,2 | 124,2 | 2,4 | 140,7 | 2,7 |
| 10080 | 168 | 52,6 | 0,9 | 64,1 | 1,1 | 71,3 | 1,2 | 80,7 | 1,3 | 94,2 | 1,6 | 108,1 | 1,8 | 117,2 | 1,9 | 129,2 | 2,1 | 146,3 | 2,4 |

Starkniederschlagshöhen und -spenden gemäß KOSTRA-DWD-2020

Rasterfeld 135090

(Zeile 135, Spalte 90)

Örtliche Unsicherheiten in Abhängigkeit von Wiederkehrzeit T und Dauerstufe D

| Dauerstufe D | | Wiederkehrzeit T | | | | | | | | |
|--------------|-----|------------------|-----|-----|-----|------|------|------|------|-------|
| | | 1 a | 2 a | 3 a | 5 a | 10 a | 20 a | 30 a | 50 a | 100 a |
| min | Std | ± % | ± % | ± % | ± % | ± % | ± % | ± % | ± % | ± % |
| 5 | | 11 | 11 | 12 | 12 | 13 | 13 | 14 | 14 | 14 |
| 10 | | 11 | 13 | 14 | 15 | 16 | 17 | 17 | 18 | 18 |
| 15 | | 13 | 15 | 16 | 17 | 18 | 19 | 19 | 20 | 20 |
| 20 | | 14 | 16 | 17 | 18 | 19 | 20 | 21 | 21 | 22 |
| 30 | | 15 | 17 | 18 | 19 | 20 | 21 | 22 | 22 | 23 |
| 45 | | 15 | 17 | 18 | 19 | 21 | 21 | 22 | 23 | 23 |
| 60 | 1 | 15 | 17 | 18 | 19 | 20 | 21 | 22 | 22 | 23 |
| 90 | 1,5 | 14 | 17 | 18 | 19 | 20 | 21 | 21 | 22 | 23 |
| 120 | 2 | 14 | 16 | 17 | 18 | 19 | 20 | 21 | 21 | 22 |
| 180 | 3 | 13 | 15 | 16 | 17 | 18 | 19 | 20 | 20 | 21 |
| 240 | 4 | 12 | 14 | 15 | 16 | 17 | 18 | 19 | 19 | 20 |
| 360 | 6 | 11 | 13 | 14 | 15 | 16 | 17 | 18 | 18 | 19 |
| 540 | 9 | 11 | 12 | 13 | 14 | 15 | 16 | 17 | 17 | 18 |
| 720 | 12 | 10 | 12 | 13 | 13 | 15 | 15 | 16 | 16 | 17 |
| 1080 | 18 | 10 | 11 | 12 | 13 | 14 | 14 | 15 | 15 | 16 |
| 1440 | 24 | 10 | 11 | 11 | 12 | 13 | 14 | 14 | 15 | 15 |
| 2880 | 48 | 11 | 11 | 11 | 12 | 12 | 13 | 13 | 14 | 14 |
| 4320 | 72 | 12 | 11 | 12 | 12 | 12 | 13 | 13 | 13 | 14 |
| 5760 | 96 | 13 | 12 | 12 | 12 | 13 | 13 | 13 | 13 | 14 |
| 7200 | 120 | 13 | 13 | 13 | 13 | 13 | 13 | 13 | 13 | 14 |
| 8640 | 144 | 14 | 13 | 13 | 13 | 13 | 13 | 13 | 14 | 14 |
| 10080 | 168 | 14 | 14 | 14 | 13 | 13 | 14 | 14 | 14 | 14 |

Parameter für abweichende T und D

Lokationsparameter ξ (Xi)

14,40073586

Skalenparameter α (Alpha)

4,38898767

Formparameter κ (Kappa)

-0,1

1. Koutsoyiannis-Parameter θ (Theta)

0,04087142

2. Koutsoyiannis-Parameter η (Eta)

0,74703264

Parameter für dauerstufenübergreifende Extremwertschätzung nach KOUTSOYIANNIS et al. 1998.

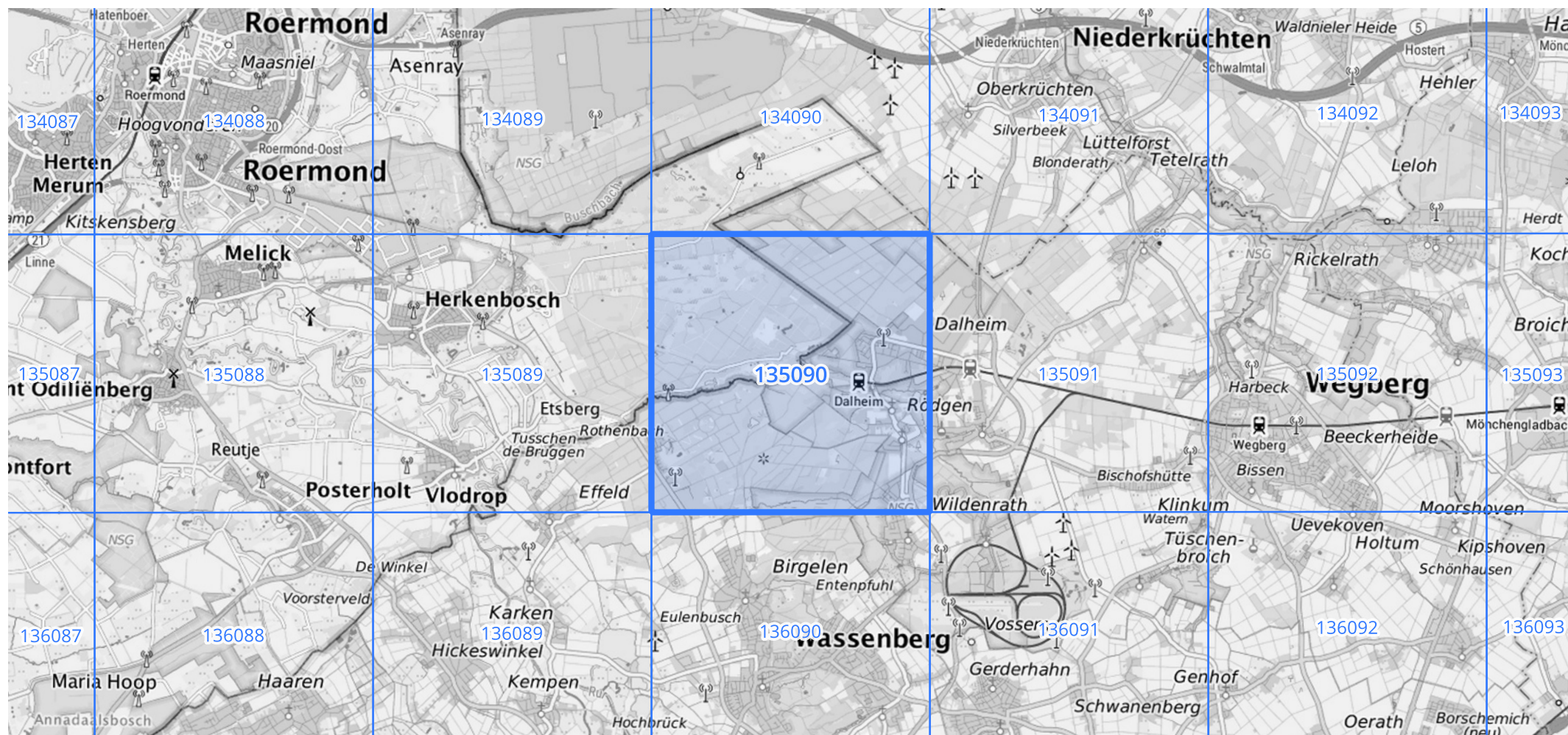
Siehe auch Anwendungshilfe zu KOSTRA-DWD-2020 des Deutschen Wetterdienstes.

Starkniederschlagshöhen und -spenden gemäß KOSTRA-DWD-2020

Rasterfeld 135090

(Zeile 135, Spalte 90)

Übersichtskarte des Rasterfeldes 135090, M 1 : 100 000



Quelle Rasterdaten: KOSTRA-DWD-2020 des Deutschen Wetterdienstes, Stand 12/2022.

Seite 3 von 3

Kartendarstellung: © Bundesamt für Kartographie und Geodäsie (2023), Datenquellen: https://sgx.geodatenzentrum.de/web_public/gdz/datenquellen/Datenquellen_TopPlusOpen.html

Für die Richtigkeit und Aktualität der Angaben wird keine Gewähr übernommen. Erstellt 01/2023.